

## Изгиб однослойного графена под действием среднего давления

Хакимов А.Г.

Институт механики им. Р.Р. Мавлютова УФИЦ РАН, Уфа

В работах [1], [2] рассматривается поперечное обтекание круговой цилиндрической оболочки плоским безграничным потоком идеальной несжимаемой невесомой жидкости с нелинейными граничными условиями. В [2] учитывается действие среднего давления на оболочку. Решение получено в виде рядов по степеням параметра аэрогидроупругости. Приводятся формы поперечного сечения оболочки, распределение давлений на деформированной и недеформированной оболочках, распределение безразмерного изгибающего момента, перерезывающей силы, усилия натяжения. Анализируется влияние действия среднего давления. В [3] изучено влияние среднего избыточного давления на цилиндрический изгиб пластины.

Рассматривается цилиндрический изгиб однослойного графена под действием среднего давления (рис. 1). Ставится задача определения формы, усилий и моментов в однослойном графене. Рассматривается цилиндрический изгиб однослойного графена, для элемента которого запишем уравнения равновесия [4]

$$\frac{dT}{ds} + \frac{Q}{R} = 0, \quad (1)$$

$$\frac{dQ}{ds} - \frac{T}{R} - \frac{Ph}{R} = 0, \quad (2)$$

$$Q = \frac{dM}{ds}, \quad (3)$$

где  $P$  - давление в окружающей среде. Изгибающий момент определяется

$$M = D \left( \frac{1}{R} - \frac{1}{R_N} \right), \quad (4)$$

где  $R_N$  - радиус кривизны поперечного сечения однослойного графена в недеформированном начальном состоянии.

Из (1) с учетом (3) и (4) следует

$$T = T_0 - \frac{D}{2} \left( \frac{1}{R^2} - \frac{1}{R_0^2} \right). \quad (5)$$

Уравнение (2) с учетом (3), (5) запишется

$$\frac{d^2(1/R)}{ds^2} + \frac{1}{2R^3} - \frac{Ph}{DR} - \left( \frac{1}{2R_0^2} + \frac{T_0}{D} \right) \frac{1}{R} = 0. \quad (6)$$

Используя соотношения

$$u = \frac{a}{R}, \quad \xi = \frac{s}{a}, \quad x = \frac{x^*}{a}, \quad y = \frac{y^*}{a}, \quad t = \frac{Ta^2}{D}, \quad q = \frac{Qa^2}{D}, \quad m = \frac{Ma}{D}, \\ \alpha = a^2 \left( \frac{1}{2R_0^2} + \frac{T_0}{D} \right), \quad \beta = \frac{Pha^2}{D},$$

уравнение (6) примет вид

$$\frac{d^2u}{d\xi^2} + \frac{u^3}{2} - (\alpha + \beta)u = 0, \quad (7)$$

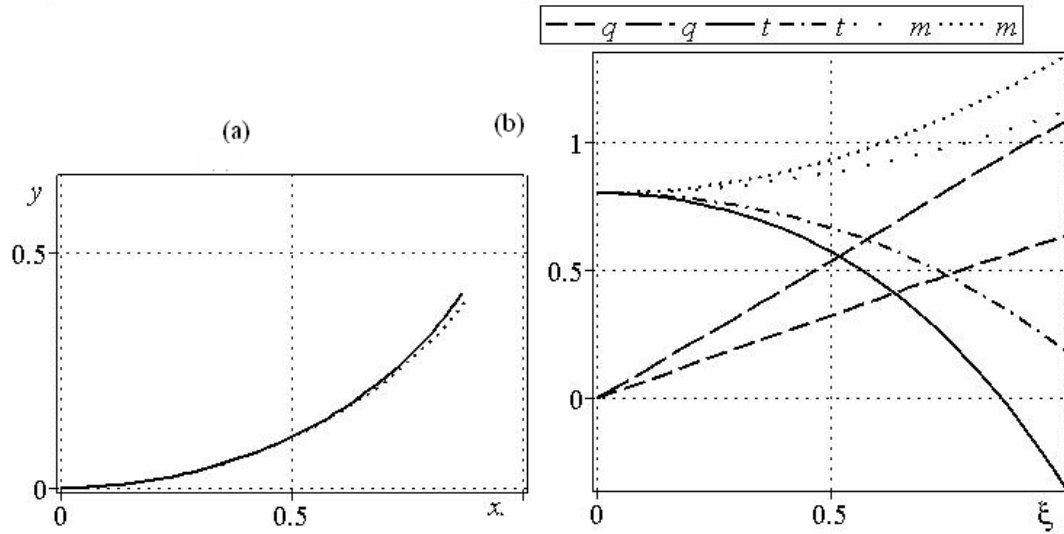


Рис. 1: Для параметров:  $m_0 = 0.8$ ,  $t_0 = 0.8$ . (а) Форма поперечного сечения графена для параметра  $\beta=0.5$  и 0 (сплошная и пунктирные линии соответственно). (б) Зависимости безразмерного усилия  $t$ , изгибающего момента  $m$ , перерезывающей силы  $q$  в графене от безразмерной дуговой абсциссы  $\xi$  для параметра  $\beta=0.5$  (сплошная, пунктирная, длинная штриховая линии соответственно) и  $\beta=0$  (штрих - пунктирная, спецпунктирная, штриховая линии соответственно).

Решение уравнения (7) с условиями при  $\xi = 0$ :  $u = m_0$ ,  $du/d\xi = 0$  выражается через эллиптический синус  $\text{sn}(\xi)$  и обратный эллиптический синус  $\text{arcsn}(\xi)$

$$u(\xi) = \frac{1}{m_0} \times \left\{ \sqrt{4(\alpha + \beta) - m_0^2} \text{sn} \left[ \frac{1}{2} I m_0 \xi + \text{arcsn} \left( \frac{m_0}{\sqrt{4(\alpha + \beta) - m_0^2}}, \frac{\sqrt{4(\alpha + \beta) - m_0^2}}{m_0} \right), \frac{\sqrt{4(\alpha + \beta) - m_0^2}}{m_0} \right] \right\}. \quad (8)$$

Производная  $du(\xi)/d\xi$  определяется через эллиптический косинус  $\text{cn}(\xi)$  и дельта амплитуду  $\text{dn}(\xi)$

$$\frac{du(\xi)}{d\xi} = \frac{1}{2} I \sqrt{4(\alpha + \beta) - m_0^2} \times \text{cn} \left[ \frac{1}{2} I m_0 \xi + \text{arcsn} \left( \frac{m_0}{\sqrt{4(\alpha + \beta) - m_0^2}}, \frac{\sqrt{4(\alpha + \beta) - m_0^2}}{m_0} \right), \frac{\sqrt{4(\alpha + \beta) - m_0^2}}{m_0} \right] \times \text{dn} \left[ \frac{1}{2} I m_0 \xi + \text{arcsn} \left( \frac{m_0}{\sqrt{4(\alpha + \beta) - m_0^2}}, \frac{\sqrt{4(\alpha + \beta) - m_0^2}}{m_0} \right), \frac{\sqrt{4(\alpha + \beta) - m_0^2}}{m_0} \right]. \quad (9)$$

На рис. 1, а приводится форма поперечного сечения графена. Видно, что среднее давление уменьшает кривизну линии поперечного сечения графена. Распределение безразмерного усилия  $t$ , изгибающего момента  $m$ , перерезывающей силы  $q$  в графене приводится на рис. 1, б. Видно, что усилия натяжения меньше в точках удаленных от оси  $x$ .

Получены нелинейные уравнения изгиба однослойного графена. В рассматриваемом примере среднее давление приводит к увеличению усилий и моментов.

Если в точке  $O$  усилие натяжения равно нулю  $T_0 = 0$ , кривизна поперечного сечения  $k = 0$  также равна нулю, изгибающий момент  $m_0 = 0$ , поэтому

$$T = -\frac{D}{2} \frac{1}{R^2}. \quad (10)$$

Уравнение (2) с учетом (3) запишется

$$\frac{d^2(1/R)}{ds^2} + \frac{1}{2R^3} = 0. \quad (11)$$

Переходя к безразмерным переменным, запишем уравнение (11)

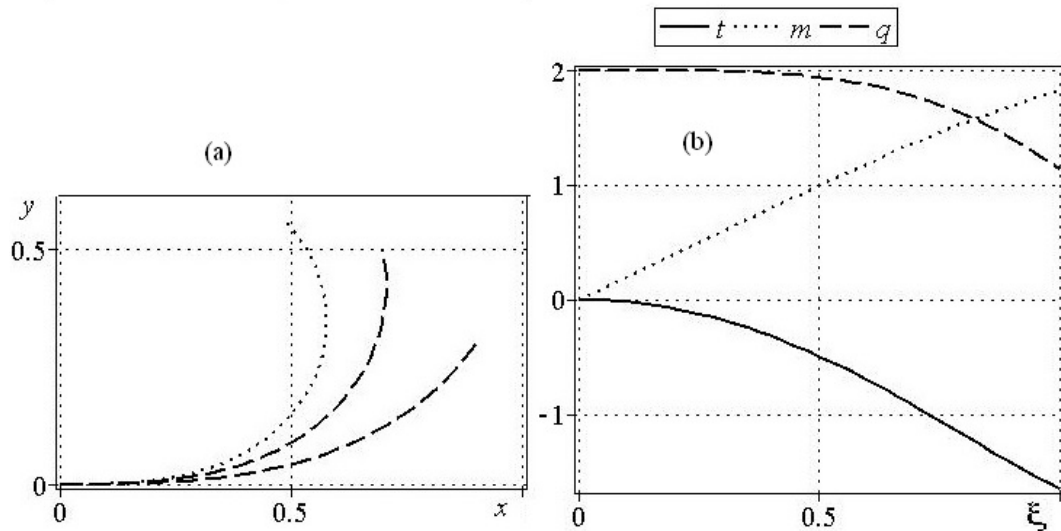


Рис. 2: Для параметров:  $m_0 = 0$ ,  $t_0 = 0$ . (а) Формы поперечного сечения графена при различных  $q_0 = 6; 4; 2$  (пунктирная, штриховая, сплошная линии, соответственно). (б) Зависимости безразмерного усилия  $t$ , изгибающего момента  $m$ , перерезывающей силы  $q$  в графене от безразмерной дуговой абсциссы  $\xi$   $q_0 = 2$ .

$$\frac{d^2 u}{d\xi^2} + \frac{u^3}{2} = 0, \quad (12)$$

Решение уравнения (12) с условиями при  $\xi = 0$ :  $u = 0$ ,  $du/d\xi = q_0$  выражается через эллиптический синус  $u(\xi) = \sqrt{2}\sqrt{q_0} \operatorname{sn}\left(\frac{\sqrt{2q_0}}{2}\xi, i\right)$ .

Безразмерные усилия и момент определяются

$$t = -\frac{u^2}{2}, \quad q = \frac{du}{d\xi} = q_0 \operatorname{cn}\left(\frac{\sqrt{2q_0}}{2}\xi, i\right) \cdot \operatorname{dn}\left(\frac{\sqrt{2q_0}}{2}\xi, i\right), \quad m = u,$$

где перерезывающая сила определяется через эллиптические косинус  $\operatorname{cn}$  и дельта амплитуду  $\operatorname{dn}$ . На рис. 2, а приводятся формы поперечного сечения пластинок при различных  $q_0$ . С увеличением  $q_0$  происходит увеличение прогибов однослойного графена. Распределение безразмерного усилия  $t$ , изгибающего момента  $m$ , перерезывающей силы  $q$ , в графене для  $q_0 = 2$  приводится на рис. 2, б. Видно, что усилия натяжения меньше в точках удаленных от оси  $x$ .

Работа проведена в порядке выполнения государственного задания (№0246-2023-0015).

Автор благодарит член – корреспондента РАН М.А. Ильгамова за постановку и обсуждение задачи.

## Список литературы

- [1] Хакимов А.Г. Обтекание гибкой цилиндрической оболочки плоским потоком идеальной жидкости. Известия АН СССР. Механика жидкости и газа. № 6. 1975. С. 147-151. DOI: 10.1007/BF01023279
- [2] Хакимов А.Г. К задаче об обтекании круговой цилиндрической оболочки // Известия Российской академии наук. Механика жидкости и газа. 2020. №2. С. 12-18. DOI: 10.31857/S0568528120020073
- [3] Ильгамов М.А. Влияние давления окружающей среды на изгиб тонкой пластины и пленки // ДАН. 2017. Т. 476. № 4. С. 402-405. DOI: 10.7868/S086956521728009X
- [4] Огибалов П.М., Колтунов М.А. Оболочки и пластины. Издательство Московского университета. 1969. 695 с.